

Perencanaan Jalur Ganda (*Double Track*) Jalan Rel Ruas Semarang – Gubug

Design of Double Track Railway of Semarang – Gubug Segment

Christianto Pancara Adi¹, Erha Intan Sukmajati¹, Siti Hardiyati²,
Sri Prabandiyani R.W³,

Jurusian Teknik Sipil, Universitas Diponegoro

ABSTRAK

Berdasarkan Rencana Induk Perkeretaapian Nasional (RIPNAS) Direktorat Jenderal Perkeretaapian Kementerian Perhubungan (2011), pada tahun 2030, peningkatan jumlah perjalanan orang menggunakan moda kereta api di Pulau Jawa sebesar 858,5 juta orang/tahun dan perjalanan barang di Pulau Jawa sebesar 534 juta ton/tahun. Oleh karena itu, pemerintah berencana untuk mengembangkan jaringan jalan rel di Jawa dengan program *Double Track* atau jalur ganda agar dicapai pelayanan yang optimal, antara lain pengembangan jalur tunggal menjadi jalur ganda antara Stasiun Semarang Tawang di Semarang dan Stasiun Gubug di Grobogan.

Dari hasil perencanaan didapat penempatan trase jalur ganda di sisi kanan trase eksisting dari arah Semarang ke Gubug dimana ketersediaan lahan terbuka lebih banyak dengan elevasi track baru setinggi elevasi track eksisting. Konstruksi jalan rel sesuai kelas jalan rel I dengan tipe rel R54, penambat elastis ganda Pandrol tipe e-clip dengan *rubber pad*, bantalan beton pratekan tipe N-67 produksi PT.WIKA Beton, ketebalan balas atas 30 cm, balas bawah setebal 15 cm. Tubuh jalan rel *double track* lebih banyak terletak pada posisi timbunan dengan tinggi antara 30 cm hingga 165 cm menggunakan perkuatan penahan tanah. Pematusan permukaan berupa saluran samping dengan penampang persegi panjang dari beton bertulang.

Kata Kunci: *Double Track*, Semarang - Gubug, Pemilihan Trase, Konstruksi Jalan Rel

ABSTRACT

Based on National Railways Master Plan (RIPNAS) of Directorate General of Railways Ministry of Transportation (2011), in 2030, number of railway passengers in Java increased in the amount of 858.5 million people / year and freight in Java amounted to 534 million tons / year. Therefore, the government planed to develop the railway network in Java with Double Track program or multiple pathways in order to achieve optimal service, the development of a single track to double track between Semarang Tawang Station in Semarang until Gubug station in Grobogan were included.

From the design performed, the double track alignment will be placed on the right side of the existed alignment in direction from Semarang to Gubug where there are more open land availability, with the new lines elevation as high as the existed lines elevation. Railway constructed in accordance with the first class railway classification with R54 rails type, double elastic's fastening system using Pandrol e-clip type with rubber pad, PT.WIKA Beton prestressed concrete sleepers N-67 type , upper ballast thickness of 30 cm and 15 cm thick sub ballast. Double track railway's subgrade situated more on the fill positions between 30 cm to 165 cm height using retaining wall reinforcement. Side channel surface drainage with a rectangular cross section from reinforced concrete.

keywords: *Double Track*, Semarang - Gubug, Alignment, Railway Construction

1. Mahasiswa S1 Jurusan Teknik Sipil Universitas Diponegoro.
2. Dosen Jurusan Teknik Sipil Universitas Diponegoro.
3. Dosen Jurusan Teknik Sipil Universitas Diponegoro.

K_b = Koefisien yang besarnya bergantung pada beban gandar

K_b = 1,5 untuk beban gandar < 18 ton

K_b = 1,3 untuk beban gandar > 18 ton

Kecepatan rencana adalah kecepatan yang digunakan untuk merencanakan konstruksi jalan rel dihitung dengan Persamaan (2).

$$V_{\text{rencana}} = 1,25 \times V_{\text{maks}} \dots \dots \dots (2)$$

B. Ruang Bebas

Ruang bebas adalah ruang di atas sepur yang senantiasa harus bebas dari segala rintangan dan benda penghalang, ruang ini disediakan untuk lalu lintas rangkaian kereta api. Untuk jalur ganda, jarak antar sumbu untuk jalur lurus dan lengkung sebesar 4,00 m. Pertimbangan penentuan trase meliputi:

1. Jarak terhadap pusat pemukiman.
2. Sedikit mungkin melintasi pemukiman.
3. Sedikit mungkin melakukan pekerjaan *cut and fill*.

C. Pembebanan

Beban dinamis (P_d) diperoleh dari perkalian faktor dinamis (I_p) terhadap beban statis (P_s), Persamaan (3).

$$P_d = P_s \times I_p \dots \dots \dots (3)$$

dimana,

$$I_p = 1 + 0,01 \left(\frac{V}{1,609} - 5 \right)$$

V = kecepatan rencana kereta api (km/jam)

D. Geometrik

Geometri jalan rel direncanakan berdasarkan pada kecepatan rencana serta ukuran-ukuran kereta yang melewatkannya dengan memperhatikan faktor keamanan, kenyamanan, ekonomi dan kesertaan dengan lingkungan sekitarnya.

- Lengkung Lingkaran

Dua bagian lurus yang perpanjangannya saling membentuk sudut harus dihubungkan dengan lengkung berbentuk lingkaran, dengan atau tanpa lengkung-lengkung peralihan. Untuk berbagai kecepatan rencana, besar jari-jari minimum yang diijinkan adalah seperti tercantum dalam

Tabel 2. Tabel Persyaratan Perencanaan Lengkungan

| Kecepatan rencana (km/jam) | Jari-jari minimum lengkung lingkaran tanpa lengkung peralihan (m) | Jari-jari minimum lengkung lingkaran yang diijinkan dengan lengkung peralihan (m) |
|-------------------------------|--|--|
| 120 | 2370 | 780 |
| 110 | 1990 | 660 |
| 100 | 1650 | 550 |
| 90 | 1330 | 440 |
| 80 | 1050 | 350 |
| 70 | 810 | 270 |
| 60 | 600 | 200 |

(Sumber: PJKA, 1986)

Dengan peninggian maksimum, h_{maks} = 110 mm,

$$R_{\min} = 0,054V^2 \dots \dots \dots (4)$$

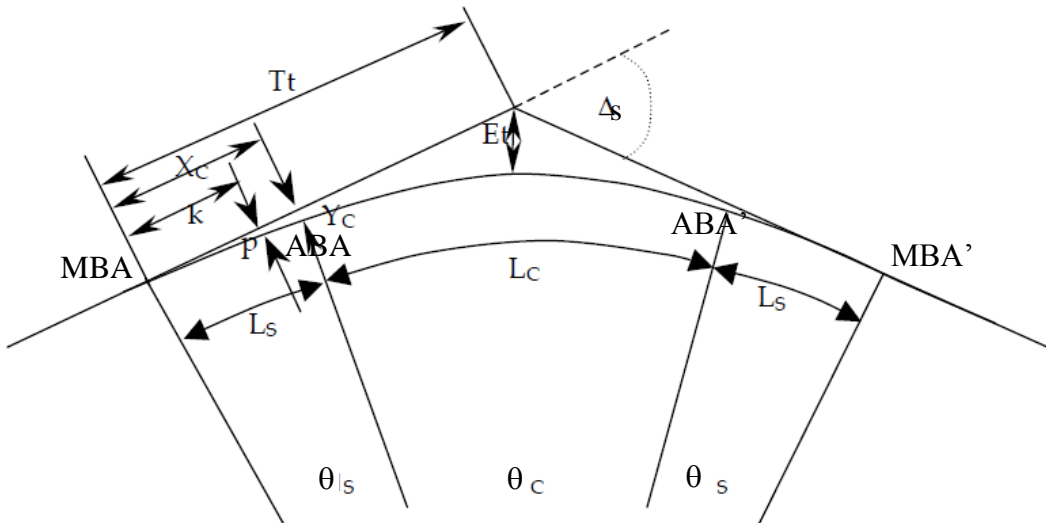
jika tidak ada peninggian yang harus dicapai (h=0)

$$R = 0,164 V^2 \dots \dots \dots (5)$$

dimana:

R = Jari-jari lengkung horizontal (m)

V = Kecepatan rencana (km/jam)



Gambar 1. Lengkung Horisontal

E. Rel

Dalam perhitungan perencanaan dimensi rel digunakan konsep "beam on elastic foundation". Secara umumnya, alur perhitungan dimensi rel menggunakan Persamaan (3) s/d Persamaan (23):

1. Menghitung beban dinamis
2. Menghitung *dumping factor*

$$\lambda = \sqrt[4]{\frac{k}{4EI_x}} \quad \dots \dots \dots \quad (20)$$

3. Menghitung momen maksimum

$$M_m = \frac{P_d}{4\lambda} \quad \dots \dots \dots \quad (21)$$

4. Tinjauan terhadap tegangan ijin kelas jalan

$$\sigma' = \frac{M_1 y}{I_x} \quad \dots \dots \dots \quad (22)$$

5. Tinjauan terhadap tegangan yang terjadi di dasar rel

$$S_{base} = M_1 / W_b \quad \dots \dots \dots \quad (23)$$

dimana,

| | |
|----------------------|---|
| Pd | = beban dinamis roda (kg) |
| P | = beban statis (kg) |
| V _{rencana} | = 1.25 x V _{maks} |
| λ | = <i>dumping factor</i> |
| k | = modulus elastisitas jalan rel |
| I _x | = momen inersia rel pada sumbu x – x |
| E | = modulus elastisitas rel |
| M _m | = momen maksimum |
| σ' | = tegangan yang terjadi |
| y | = jarak tepi bawah rel ke garis netral |
| M ₁ | = 0,85 M ₀ akibat super posisi beberapa gandar |
| S _{base} | = tegangan di dasar rel |
| W _b | = tahanan momen dasar rel |

Menurut panjangnya dibedakan tiga jenis rel, yaitu:

1. Rel standar, panjangnya 25 meter.
2. Rel pendek, panjangnya maksimal 100 m.
3. Rel panjang, panjang minimumnya tercantum pada Tabel 3.

Tabel 3. Panjang Minimum Rel Panjang

| Jenis bantalan | Tipe Rel | | | |
|----------------|----------|-------|-------|-------|
| | R. 42 | R. 50 | R. 54 | R. 60 |
| Bantalan kayu | 325 m | 375 m | 400 m | 450 m |
| Bantalan beton | 200 m | 225 m | 250 m | 275 m |

(Sumber: PJKA, 1986)

Panjang ℓ (bagian rel yang memuai dan menyusut) dapat dihitung dengan Persamaan (24).

$$\ell = O M = \frac{ExAx\alpha\Delta T}{r} \quad \dots \dots \dots \quad (24)$$

panjang minimum rel panjang digunakan Persamaan (25).

$$L \geq 2 \ell \quad \dots \dots \dots \quad (25)$$

dimana:

ΔL = Pertambahan panjang (m)

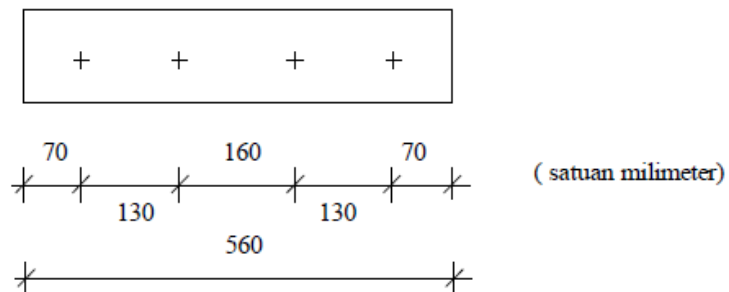
L = Panjang rel (m)

α = Koefisien muai panjang ($^{\circ}\text{C}^{-1}$)

ΔT = Kenaikan temperatur ($^{\circ}\text{C}$)

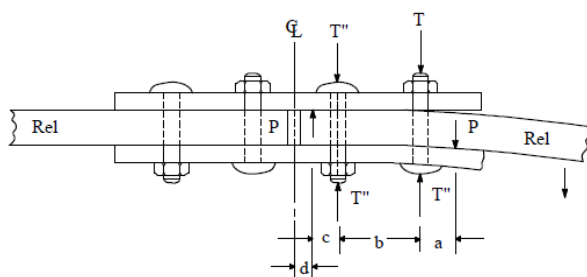
E = modulus elastisitas *Young* (kg/cm^2)

A = luas penampang (cm^2)



Gambar 2. Pelat Penyambung untuk Rel R.42, R.50 dan R.54. Ø Lubang 24mm Tebal Pelat 20mm. Tinggi Disesuaikan dengan Masing-masing Rel.

(Sumber: PJKA, 1986)



Gambar 3. Gaya-gaya pada Baut Pelat Penyambung
(Sumber: PJKA, 1986)

Baut dan pelat penyambung (Gambar 2), harus kuat menahan gaya-gaya pada baut dan pelat penyambung (Gambar 3) yang dihitung menggunakan Persamaan (26) s/d Persamaan (31).

$$\text{No} = 75\% Ac * \sigma \quad \dots \dots \dots \quad (26)$$

$$T = 0,5 * \text{No} \quad \dots \dots \dots \quad (27)$$

$$H = Q * \tan \alpha \quad \dots \dots \dots \quad (28)$$

$$H = T + T'' \quad \dots \dots \dots \quad (29)$$

$$M = M_1 + M_2 = Q * a + m * Q * h \quad \dots \dots \dots \quad (30)$$

$$\sigma = M / W \quad \dots \dots \dots \quad (31)$$

dimana,

σ = tegangan yang terjadi (kg/cm^2)

Bagi tubuh jalan yang merupakan tanah timbunan, maka konstruksi pematus bawah tanah tidak diperlukan,

III. HASIL PERHITUNGAN

A. Klasifikasi Jalan Rel

Dari hasil perhitungan Grafik Perjalanan Kereta Api atau GAPEKA (PT.KAI, 2011) didapatkan lalulintas kereta pada ruas Semarang-Gubug sebanyak 56 perjalanan perhari dengan besarnya tonase penumpang dan kereta harian (Tp) sebesar 9925 ton, tonase barang dan gerbong harian (Tb) sebesar 12429 ton, dan tonase lokomotif harian (Tl) sebesar 3818 ton, maka hasil perhitungan daya angkut lintas dengan Persamaan (1) diperoleh:

$$T = 13,430 \text{ juta ton/tahun yang termasuk kelas jalan II (Tabel 1).}$$

Berdasarkan RIPNAS tahun 2011 diperkirakan pada tahun 2030 untuk Pulau Jawa akan terjadi peningkatan penumpang sebesar 11,64 kali lipat dan barang sebesar 142,55 kali lipat. Maka perkiraan jumlah beban untuk penumpang sebesar $11,64 * 9925 = 115527$ ton/hari dan perkiraan beban barang yaitu sebesar $142,55 * 12429 = 1771753,95$ ton/hari. Sehingga perkiraan daya angkut (belum termasuk lokomotif) diperoleh:

$$T = 998336853 \text{ ton/tahun, maka untuk perencanaan jalur ganda menggunakan perencanaan jalan rel kelas I.}$$

B. Trase

Dari data berupa foto udara yang diambil dari aplikasi komputer Google Earth dapat dilihat kondisi sekitar rel tunggal sebagai pertimbangan penentuan trase rel jalur ganda. Berdasarkan kondisi jalur tunggal, maka perencanaan jalur ganda (*double track*) berada di sebelah kanan dari jalur tunggal (eksisting). Dengan pertimbangan ketersediaan lahan terbuka di sebelah kanan lebih banyak, maka biaya pembebasan lahan akan lebih sedikit. Apabila jalur ganda berada di sebelah kiri jalur tunggal dimana terdapat kawasan pabrik di daerah Kaligawe dan Mranggen, maka biaya pembebasan lahan akan lebih banyak.

C. Geometrik

Trase baru di sebelah kanan jalur eksisting direncanakan mengikuti lengkung trase jalur eksisting. Elevasi rel baru mengikuti elevasi rel eksisting sesuai landai atau lengkung vertikalnya. Perhitungan lengkung horisontal menggunakan Persamaan (4) s.d Persamaan (19) yang tersaji pada Tabel 6 dengan contoh perhitungan untuk lengkung no 12b, pusat lengkung (PI) STA 2+697,5 arah lengkung kanan, sudut (Δs) = $10^\circ 48' 0''$.

- Kecepatan rencana lengkung horisontal jalan rel kelas 1

$$V_{\text{rencana}} = V_{\text{maks}} = 120 \text{ km/jam.}$$

- Perencannan Jari-jari horisontal (R)

$$R_{\min} = 0,054 * V^2 = 0,054 * 120^2 = 777,6 \text{ m}$$

$$R_{\min} = 0,164 * V^2 = 0,164 * 120^2 = 2361,6 \text{ m}$$

R_{min} menurut Tabel 2 untuk V_{rencana} 120 km/jam, R_{min} = 780 m

digunakan R rencana = 800 m

- Perencanaan Peninggian rel

$$h_{\min} = 104,9 \text{ mm}$$

$$h_n = 107,1 \text{ mm}$$

$$h_{\max} = 110 \text{ mm}$$

$$h_{\min} < h_n < h_{\max}$$

$105,69 \text{ mm} < 107,1 \text{ mm} < 110 \text{ mm} \dots\dots (\text{OK!})$

Digunakan peninggian rel 110 mm

$L_s = 132 \text{ m}$

$\theta_s = 4,72690181 = 4^\circ 43' 36,85''$

$\theta_c = 1^\circ 20' 46,31''$

$L_c = 18,796 \text{ m}$

$L = 282,796 \text{ m}$

$X_c = 131,91 \text{ m}$

$Y_c = 3,63 \text{ m}$

$p = 0,909 \text{ m}$

$k = 65,985 \text{ m}$

$T_s = 141,693 \text{ m}$

$E_s = 4,479 \text{ m}$

Perhitungan STA

Sta MBA = PI - Tt = $2697,5 - 141,693 = 2+555,807$

Sta ABA = MBA + Ls = $2555,807 + 132 = 2+687,807$

Sta ABA' = MBA + Ls + Lc = $2687,807 + 18,796 = 2+706,603$

Sta MBA' = MBA + Ls + Lc + Ls = $2+706,603 + 2+838,603$

Tabel 6. Hasil Perhitungan Lengkung Horisontal

| No urut | Nomor Lengkung | STA pusat lengkung | Arah | Sudut | V maks (Km/Jam) | Radius (R) (m) | Peninggian Rel (h) (mm) | Panjang lengkung peralihan (Ls) (m) | Panjang lengkung lingkaran(Lc) (m) | MBA | ABA | ABA' | MBA' |
|--------------------------|----------------|--------------------|-------|---------------------|-----------------|----------------|-------------------------|-------------------------------------|------------------------------------|-----------|-----------|-----------|-----------|
| RESORT 4.10 GUBUG | | | | | | | | | | | | | |
| 1 | 12b | 2697,5 | kanan | $10^\circ 48' 0''$ | 120 | 800 | 110 | 132 | 18,796 | 2555,807 | 2687,807 | 2706,603 | 2838,603 |
| 2 | 13b | 3051 | kipi | $7^\circ 32' 51''$ | 120 | 1200 | 75 | 90 | 68,074 | 2926,832 | 3016,832 | 3084,906 | 3174,906 |
| 12 | 23b | 14455,5 | Kiri | $30^\circ 42' 35''$ | 120 | 800 | 110 | 132 | 296,789 | 14169,587 | 14301,587 | 14598,375 | 14730,375 |
| 13 | 24b | 15335 | Kanan | $11^\circ 10' 34''$ | 120 | 2000 | 45 | 54 | 336,120 | 15112,313 | 15166,313 | 15502,433 | 15556,433 |
| 14 | 25b | 18919 | Kiri | $2^\circ 51' 58''$ | 120 | 2000 | 45 | 54 | 46,046 | 18841,965 | 18895,965 | 18942,011 | 18996,011 |
| 15 | 26b | 22584 | Kiri | $12^\circ 16' 3''$ | 120 | 2000 | 45 | 54 | 374,217 | 22342,064 | 22396,064 | 22770,280 | 22824,280 |
| 16 | 27b | 22879 | Kiri | $4^\circ 0' 46''$ | 120 | 2000 | 45 | 54 | 86,072 | 22781,933 | 22835,933 | 22922,006 | 22976,006 |
| 19 | 30b | 30173 | Kiri | $28^\circ 39' 44''$ | 120 | 2000 | 45 | 54 | 946,500 | 29635,034 | 29689,034 | 30635,535 | 30689,535 |

D. Rel

Digunakan tipe rel R54 dengan karakteristik:

- Berat rel teoritis permeter panjang = $54,43 \text{ kg/m}^3$
- Momen Inersia searah sumbu X (I_x) = 2346 cm^4
- Modulus elastisitas = $2,1 \times 10^6 \text{ kg/cm}^2$
- Luas penampang melintang = $69,34 \text{ cm}^2$
- Jarak tepi bawah kaki rel ke garis netral = $76,20 \text{ mm}$
- Dipakai bantalan beton dengan jarak = 60 cm
- Beban gandar = 18 ton
- Lebar sepur = 1067 mm
- Tegangan ijin rel (σ) = 1325 kg/cm^2
- Tegangan dasar rel (S_i) = $1176,8 \text{ kg/cm}^2$

Kecepatan maksimum 120 km/jam, tekanan gandar 18 ton.

Beban dinamis (P_d) dihitung dengan Persamaan (3) sebesar:

$$P_d = 6940,3 \text{ kg.}$$

Dumping factor (λ) dihitung menggunakan Persamaan (20) diperoleh:

$$\lambda = 9,776 \times 10^{-3} \text{ cm}^{-4}$$

Momen maksimum (Mm) dihitung dengan Persamaan (21) didapat:

$$Mm = 423150,5 \text{ kgcm}$$

Tegangan yang terjadi (σ) dihitung dengan Persamaan (22) sebesar:

$$\sigma = 1193,1 \text{ kg/cm}^2$$

$$\sigma \leq \sigma'$$

$$1193,1 \text{ kg/cm}^2 \leq 1352 \text{ kg/cm}^2$$

Tegangan yang terjadi didasarkan rel menggunakan Persamaan (23) diperoleh:

$$S_{\text{base}} = 1167,79 \text{ kg/cm}^2$$

$$S_{\text{base}} \leq S'_{\text{base}}$$

$$1167,79 \text{ kg/cm}^2 \leq 1176,8 \text{ kg/cm}^2$$

- Perencanaan Panjang Minimum Rel Panjang (*Continuous Welded Rail*)

Panjang bagian rel yang memuaskan (ℓ) dihitung dengan Persamaan (24) sepanjang:

$$\ell = 116,94 \text{ m.}$$

Panjang minimum rel panjang tipe R.54 (L) dihitung menggunakan Persamaan (25) sepanjang:

$$L = 232,98 \text{ m,}$$

maka digunakan panjang minimum rel panjang dengan panjang 250 m sesuai ketentuan Tabel 3.

- Sambungan Rel

$$\text{Diameter baut } (\emptyset) = 23 \text{ mm}$$

$$\text{Luas penampang baut } (Ac) = 4,15 \text{ cm}^2$$

$$\text{Tegangan ijin baut } (\sigma') = 4000 \text{ kg/cm}^2$$

$$\text{Tegangan ijin pelat } (\sigma') = 1325 \text{ kg/cm}^2$$

Perhitungan kekuatan baut (No) dengan Persamaan (26) didapat:

$$No = 12450 \text{ kg}$$

Kekuatan baut akibat beban bolak-balik (T) dihitung dengan Persamaan (27) diperoleh:

$$T = 6225 \text{ kg}$$

gaya lateral yang bekerja di tengah-tengah pelat penyambung (H) dihitung dengan Persamaan (28) sebesar:

$$H = 3080,05 \text{ kg}$$

gaya tarik baut sebelah luar (T') dan sebelah dalam (T'') dihitung menggunakan Persamaan (29) diperoleh:

$$T' = 4264,7 \text{ kg}$$

$$T' < T$$

$$4264,7 < 6225 \text{ kg(OK)}$$

$$T'' = -1184,65 \text{ kg}$$

$$T'' \leq T$$

$$-1184,65 \text{ kg} \leq 6225 \text{ kg (OK)}$$

Momen lateral (M) yang terjadi pada pelat dihitung menggunakan Persamaan (30) diperoleh:

$$M = 4510,70 \text{ kgcm}$$

Tegangan yang terjadi (σ) pada pelat dihitung menggunakan Persamaan (31) diperoleh:

$$\sigma = 1153,63 \text{ kg/cm}^2$$

$$\sigma \leq \sigma'$$

$$1153,63 \text{ kg/cm}^2 \leq 1325 \text{ kg/cm}^2 \dots \text{(OK)}$$

Perpanjangan rel akibat adanya perubahan suhu dihitung menggunakan Persamaan (32) didapat:

$$G = 11,397 \text{ mm}$$

Jadi celah yang di sediakan sepanjang 12 mm.

E. Penambat Rel

Penambat rel elastis ganda yang digunakan adalah penambat jenis pandrol e-clip ditambah dengan *rubber pad*. $F' = 600 \text{ kg}$

Gaya rangkak (F) yang terjadi pada rel dihitung dengan Persamaan (33) menghasilkan

$$F = 52451,04 \text{ kg}$$

Panjang rel = 250 m

Jarak bantalan = 600 mm = 0,6 m

Sehingga jumlah penambat tiap rel panjang adalah

$$= 250/0,6 = 416,67 = 416 \text{ buah}$$

Gaya yang ditahan oleh sebuah penambat:

$$F = F/416$$

$$= 52451,04 / 416$$

$$= 126,012 \text{ kg}$$

$$F \leq F'$$

$$126,012 \text{ kg} \leq 600 \text{ kg} \dots\dots(\text{OK})$$

F. Bantalan

Bantalan yang digunakan adalah bantalan beton produksi PT. WIKA Beton tipe N-67.

- Kekuatan Bantalan

dumping factor (λ) di bawah kaki rel,

$$\lambda = 0,011 \text{ cm}^{-1}$$

di tengah bantalan,

$$\lambda = 0,012 \text{ cm}^{-1}$$

Momen pada daerah di bawah kaki rel

$$M = 113289,08 \text{ kgcm}$$

$$M < M'$$

$$113289,08 \text{ kgcm} < 150000 \text{ kg cm} \dots\dots(\text{OK})$$

Momen pada daerah tengah bantalan

$$M = -37060,77 \text{ kgcm}$$

$$M < M'$$

$$-37060,77 \text{ kgcm} < 66000 \text{ kg cm} \dots\dots(\text{OK})$$

Jarak Bantalan (ℓ) ditentukan berdasarkan momen maksimum yang dihitung dengan Persamaan (36) didapat

$$\ell_{\text{maks}} = 96,148 \text{ cm}$$

Diambil $\ell = 60 \text{ cm}$

G. Balas

Lebar Bahu balas atas (b) dihitung dengan Persamaan (37).

$$b = 150 \text{ cm}$$

Lapisan balas bawah terdiri dari kerikil halus, kerikil sedang atau pasir kasar. Tebal lapisan balas bawah (d_2) dihitung dengan Persamaan (38) dan diperoleh.

$$d_2 = 15 \text{ cm}$$

Jarak dari sumbu jalan rel ke tepi atas lapisan balas bawah (k_1) pada sepur lurus dihitung dengan Persamaan (39).

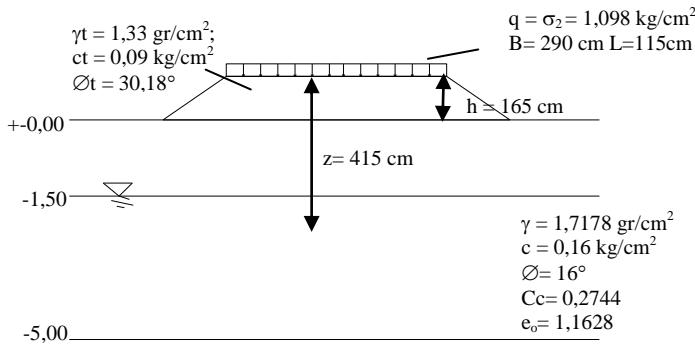
$$k_1 = 271 \text{ cm}$$

Jarak dari sumbu jalan rel ke tepi atas lapisan balas bawah (k_1) pada tikungan dihitung dengan Persamaan (40)

$$k_1 = 320 \text{ cm}$$

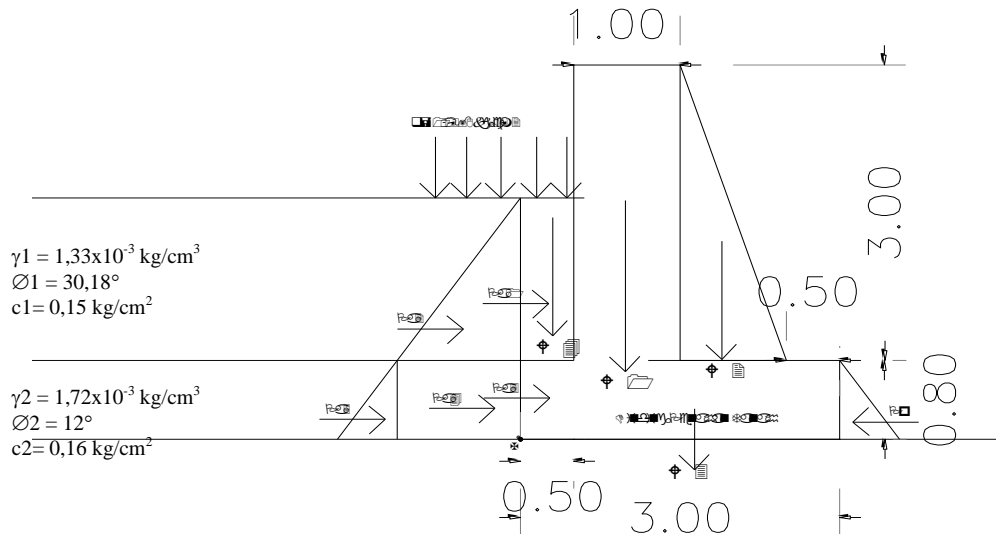
H. Tubuh Jalan Rel STA 10+000

STA 10+000 berupa timbunan yang dimodelkan pada Gambar 5.



Gambar 5. Pemodelan Timbunan STA 10+000

- Tinggi timbunan kritis dihitung dengan Persamaan (44)
 $ht \leq 1313,68 \text{ cm}$
 $165 \text{ cm} \leq 1313,68 \text{ cm} \dots\dots (\text{OK})$
- Analisa kelongsoran pra rencana dengan Persamaan (45) dan Persamaan (46)
 $Cd = 0,24 \text{ kg/cm}^2$
 $Fk = 0,375 \leq 1,5 \text{ (NOT OK)}$
 tidak memenuhi angka keamanan sehingga perlu diperkuat dengan konstruksi penahan tanah.
- Analisa stabilitas lereng dihitung menggunakan Persamaan (47)
 $Fs = 1,58 > 1,5 \text{ (OK)}$
 Berdasarkan perhitungan, pemodelan irisan untuk analisa kelongsoran memenuhi faktor keamanan yang disyaratkan pada ketinggian maksimum sebesar 299,63 cm atau 3 m dari top timbunan.
- Penurunan tanah asli dihitung dengan Persamaan (43)
 $S = 3,8744 \text{ cm}$
 $S < S'$
 $3,8744 \text{ cm} < 50 \text{ cm} \dots \text{(OK)}$
- Perhitungan Dinding Penahan Tanah
 Dinding penahan tanah direncanakan seperti pada Gambar 6.



Gambar 6. Pemodelan Dinding Penahan Tanah

Hasil perhitungan tekanan tanah dan momen horisontal dengan menggunakan Persamaan (48) s/d Persamaan (54) dirangkum dalam Tabel 7.

Tabel 7. Hasil Perhitungan Tekanan Tanah dan Momen Horisontal

| | GAYA (Kg) | LENGAN (cm) | MOMEN (Kgcm) |
|------|-----------|-------------|--------------|
| Pa 1 | 59,78 | 162,5 | 9,714.25 |
| Pa 2 | -2,56 | 135 | -345.60 |
| Pa 3 | 57,62 | 40 | 2,304.80 |
| Pa 4 | -4,61 | 40 | -184.40 |

| | GAYA (Kg) | LENGAN (cm) | MOMEN (Kgcm) |
|--------|-----------|-------------|--------------|
| Pa 5 | 3,61 | 26.67 | 96.28 |
| Pp 1 | - 15,81 | 26.67 | -421.65 |
| JUMLAH | 98.03 | | 11,163.68 |

Hasil perhitungan momen vertikal dengan Persamaan (55) dan Persamaan (56) dirangkum dalam Tabel 8.

Tabel 8. Hasil Perhitungan Momen Vertikal

| | GAYA (Kg) | LENGAN (cm) | MOMEN (Kgcm) |
|--------|-----------|-------------|--------------|
| W1 | 72 | 110 | 7.920 |
| W2 | 36 | 210 | 7.560 |
| W3 | 57,6 | 150 | 8.640 |
| W4 | 10,97 | 25 | 274.313 |
| JUMLAH | 176,57 | | 24.394,3 |

- Cek terhadap guling dengan Persamaan (57)

$$\frac{\Sigma MV}{\Sigma MH} \geq 2$$

$$\frac{24.394,3}{11,163,68} \geq 2$$

$$2,19 > 2 \dots\dots\dots\dots\dots (OK)$$

- Cek terhadap geser dengan Persamaan (58)

$$\frac{\Sigma PV \tan \theta 2 + B.c2 + \Sigma PH}{\Sigma PH} \geq 1,5$$

$$\frac{176,57 \tan 12 + 300 \cdot 0,091 + 98,03}{98,03} \geq 1,5$$

$$1,66 > 1,5 \dots\dots\dots (OK)$$

- Kontrol terhadap eksentrisitas dihitung dengan Persamaan (59) dan Persamaan (60) diperoleh

$$e < 1/6 B$$

$$15,03 < 300/6$$

$$15,03 \text{ cm} < 50 \text{ cm} \dots\dots (OK)$$

- Tinjauan terhadap TOE dihitung dengan Persamaan (61) dan Persamaan (62) diperoleh

$$\sigma_{\text{tekan}} = 19,45 \text{ kg/cm}^2$$

$$\sigma_{\text{TOE}} = -0,73 \text{ kg/cm}^2$$

$$\sigma_{\text{TOE}} < \sigma_{\text{tekan}}$$

$$-0,73 \text{ kg/cm}^2 < 19,45 \text{ kg/cm}^2 \dots\dots (OK)$$

- Tinjauan terhadap HEEL dihitung dengan Persamaan (63) dan Persamaan (64) diperoleh

$$\sigma_{\text{tarik}} = 5,59 \text{ kg/cm}^2$$

$$\sigma_{\text{HEEL}} = 0,06 \text{ kg/cm}^2$$

$$\sigma_{\text{HEEL}} < \sigma_{\text{tarik}}$$

$$0,06 < 5,59 \dots\dots (OK)$$

- Cek kuat dukung tanah dengan Persamaan (42)

$$q_u > q$$

$$q_u = 3,12 \text{ kg/cm}^2$$

$$q_{\text{toe}} = -0,73 \text{ kg/cm}^2$$

$$q_u > q_{\text{toe}}$$

$$3,12 \text{ kg/cm}^2 > -0,73 \text{ kg/cm}^2 \dots\dots (OK)$$

$$q_{\text{heel}} = 0,06 \text{ kg/cm}^2$$

$$q_u > q_{\text{heel}}$$

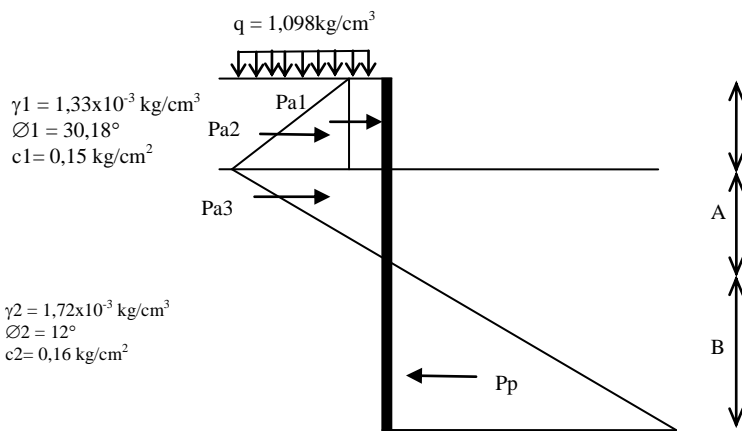
$$3,12 \text{ kg/cm}^2 > 0,06 \text{ kg/cm}^2 \dots\dots (OK)$$

- Cek penurunan dengan Persamaan (43)

$$S = 1,99 \times 10^{-4} \text{ cm}$$

- Perhitungan *Sheet Pile*

Sheet pile direncanakan dengan pemodelan seperti pada Gambar 7.



Gambar 7. Pemodelan Sheet Pile

$$\begin{aligned}\sigma_3 &= \gamma_2 (k_p - k_a) A \\ \sigma_1 + \sigma_2 &= 1,72 \times 10^{-3} (1,52 - 0,66) A \\ 0,26 &= 1,72 \times 10^{-3} (1,52 - 0,66) A\end{aligned}$$

$$A = 175,77 \text{ cm}$$

Stabilitas turap berdasarkan momen terhadap titik X:

$$\begin{aligned}Pa1.(82,5+A)+Pa2.(55+A)+Pa3.(0,67A) &= Pp.(0,33B) \\ 31,35.(82,5+175,77)+21,45.(55+175,7) &+ 22,85.(0,67 \cdot 175,77) = 7,4 \times 10^{-3} B^2 \cdot (0,33B) \\ 15737,73 &= 2,44 \times 10^{-4} B^3 \\ B^3 &= 64498893\end{aligned}$$

$$B = 401,03 \text{ cm}$$

Jadi kedalaman pancang dilapangan dengan faktor keamanan 25% dengan Persamaan (65)

$$D = 722,08 \text{ cm} \approx 723 \text{ cm}$$

$$\text{Panjang total sheet pile} = 165 + 723 = 888 \text{ cm.}$$

- Dimensi sheet pile

$$\sigma_{\text{maks}} = 2400 \text{ kg/cm}^2$$

$$W = M_{\text{maks}} / \sigma' = 31788,31 / 2400 = 13,25 \text{ cm}^3$$

$$\text{Pakai FSP 1A} = W = 523 \text{ cm}^3$$

Cek

$$\sigma = M_{\text{max}} / W = 25947,99 / 523 = 49,61 \text{ kg/cm}^2 < 2400 \text{ kg/cm}^2$$

I. Saluran Samping

Dimensi saluran samping dihitung dengan Persamaan (66) dan Persamaan (67)

$$Q_s \geq 1,2 Q_r$$

$$Q_s = 1,2 Q_r = 1,2 * 0,177 = 0,2124 \text{ m}^3/\text{s}$$

$$0,2124 = 2h^2 * \frac{1}{0,012} \left(\frac{2h^2}{4h} \right)^{2/3} 0,006^{1/2}$$

Dengan cara iterasi diperoleh h sebesar 0,255 m.

- Cek terhadap kecepatan aliran ijin saluran sebesar 3,00 m/s maka,

$$\begin{aligned}V &= \frac{1}{0,012} \left(\frac{2 \cdot 0,255^2}{4 \cdot 0,255} \right)^{2/3} 0,006^{1/2} \\ &= 1,64 \text{ m/s} \dots \text{OK}\end{aligned}$$

Sehingga diperoleh dimensi saluran

$$\text{Tinggi saluran (h)} = 0,255 \text{ m}$$

$$\text{Lebar saluran (b)} = 2 \cdot 0,255 = 0,51 \text{ m}$$

$$\text{tinggi jagaan} = 30\% \text{ h} = 0,15 \text{ m}$$

IV. KESIMPULAN DAN SARAN

A. Kesimpulan

1. Berdasarkan peta topografi dan foto udara, rel jalur ganda direncanakan berada sisi kanan jalur tunggal dari arah Semarang menuju Gubug.
2. Perkiraan daya angkut lintas (belum termasuk lokomotif) tahun 2030 yaitu 998336853 ton/tahun > 20000000 ton/tahun. Maka untuk perencanaan jalur ganda menggunakan perencanaan jalan rel kelas I. Dengan kriteria perencanaan:
 - Kecepatan rencana 120 km/jam
 - Beban gandar 18 ton
 - Tipe rel R. 54
 - Bantalan beton, digunakan bantalan beton WIKA N-67
 - Penambat elastik ganda, tipe pandrol dengan alas karet (*rubber pad*).
 - Balas batu pecah 2-6 cm dengan tebal (d1) 30 cm dan kemiringan bahu 1:2.
 - Subbalas pasir batu dengan tebal (d2) 15 cm.
3. Perkuatan dan perlindungan tanah timbunan yang tinggi dengan memasang dinding penahan tanah. Alternatif penahan tanah yang digunakan berupa
 - DPT tipe semi gravitasi dengan material beton bertulang, dengan dimensi:

| | |
|----------------|---------|
| Lebar dasar | = 3 m |
| Tinggi kaki | = 0,8 m |
| Lebar kaki | = 0,5 m |
| Tinggi dinding | = 3 m |
| Lebar atas | = 1 m |
 - *Sheet pile* baja profil FSP 1A dengan panjang total 888cm dan panjang tanam 723 cm.
4. Pematusan yang digunakan hanya pematusan permukaan dengan perencanaan:
 - Saluran berbentuk segi empat
 - Material saluran = Beton bertulang
 - Tinggi saluran (h) = 0,255 m
 - Lebar saluran (b) = 0,51 m
 - tinggi jagaan = 0,15 m

B. Saran

1. Perlu adanya penjadwalan ulang Kereta Api untuk mengoptimalkan kinerja jalur ganda.
2. Dengan adanya peningkatan lalu lintas kereta pada jalur ganda maka perlu diperhatikan perlintasan sebidang jalan raya yang padat untuk mengantisipasi kemacetan.
3. Peningkatan pengamanan ruang bebas disekitar jalur ganda guna menghindari kecelakaan.

V. DAFTAR PUSTAKA

- Christady, Hary. 2002. *Mekanika Tanah I, Edisi Ketiga*. Yogyakarta: Gajahmada University Press
- Christady, Hary. 2002. *Mekanika Tanah II*. Yogyakarta: Gajahmada University Press
- Direktorat Perguruan Tinggi Swasta. 1997. *Rekayasa Fundasi I: Konstruksi Penahan Tanah*. Jakarta: Gunadarma
- Direktorat Perguruan Tinggi Swasta. 1997. *Rekayasa Fundasi II: Fundasi Dangkal dan Fundasi Dalam*. Jakarta: Gunadarma
- Google Earth: "Semarang". 2012.
- Kementrian Perhubungan Ditjen Perkeretaapian. 2011. *Rencana Induk Perkeretaapian Nasional*. Jakarta
- PJKA. 1986. *Penjelasan Peraturan Dinas No.10 tentang Perencanaan Konstruksi Jalan Rel*.
- PJKA. 1986. *Peraturan Dinas No.10 tentang Peraturan Perencanaan Konstruksi Jalan Rel*.
- Utomo, Suryo H, Ir., Ph.D. 2003. *Jalan Rel*. Yogyakarta: Beta Offset
- Wesli. 2008. *Drainase Perkotaan*. Yogyakarta: Graha Ilmu